

3. Лучко І. А. Результати фізичного моделювання дії вибуху на викид сферичних зарядів у шаруватих ґрунтах // Вісник Національного технічного університету України «КПІ». Серія «Гірництво». – 2001. – Вип. 6. – С. 17–21.

4. Лучко І. А., Лучко А. І. Дослідження особливостей дії вибуху на викид горизонтальних циліндричних зарядів скінченних розмірів в однорідних слабоз'язаних ґрунтах // Вісник Національного технічного університету України «КПІ». Серія «Гірництво». – 2004. – Вип. 10. – С. 6–13.

5. Лучко І. А., Лучко А. І. Фізичне моделювання дії вибуху на викид горизонтальних циліндричних зарядів скінченних розмірів у шаруватих ґрунтах // Вісник Національного технічного університету України «КПІ». Серія «Гірництво». – 2005. – Вип. 12. – С. 3–7.

6. Адушкин В. В., Скоморохов Н. Д. Исследование однорядного взрыва на выброс. – М.: Недра: Взрывное дело. – № 82/39. – 1980. – С. 94–105.

УДК 622.235 + 622.231

## ДИНАМИКА ФОРМИРОВАНИЯ МОНОТРЕЩИНЫ ВЗРЫВОМ В ГОРНОМ МАССИВЕ

*В. Г. Кравець, докт. техн. наук, А. Л. Ган, магістр (НТУУ «КПІ»),  
П. З. Луговой, докт. техн. наук (ИМ НАНУ), З. Барановский, канд. техн. наук  
(Силезский технический университет, г. Гливице, РП)*

*Розглянуто математичну модель і алгоритм розрахунку полів напружень при взаємодії фронтів ударних хвиль від вибуху ряду паралельних шпурових зарядів з використанням методики періодичних задач дифракції пружних хвиль.*

Наиболее типичной ситуацией при отбойке шпучного камня является вариант расположения одинаковых шпуровых зарядов с определенным шагом по заданной прямой [1]. Это позволяет для случаев, когда шпуровые заряды подрываются одновременно, определить напряжения в массиве по методике решения периодических задач дифракции упругих волн [2].

Если заряды расположены в  $m$  цилиндрических полостях с параллельными продольными осями, то можно ввести  $m$  цилиндрических систем координат  $(r_k, \theta_k, X_{3,k})$  так, чтобы оси  $X_{3,k}$  совпадали с продольными осями шпуровых зарядов, плоскости  $X_{3,k} = 0$  были совмещены, а координатные оси  $X_{1,k}, X_{2,k} \dots X_{1,m}, X_{2,m}$  параллельны и одинаково ориентированы, при  $k \neq m$ .

В этом случае в плоскости  $X_{3,k} = 0$ , если она проходит через середины длин шпуровых зарядов, реализуются условия плоской деформации. На рис. 1 представлено расположение систем координат для двух соседних шпуров. Для того чтобы свести задачу к квазистационарной, проведем интегральную оценку

действия шпурового заряда. Это даст возможность записать граничные условия задачи в виде радиальных напряжений, действующих на стенки шпуров с определенной частотой:

$$P_0 e^{-i\omega t} = P(t); \quad e^{-i\omega t} = \cos \omega t + i \sin \omega t. \quad (1)$$

Поле напряжений симметрично относительно оси  $X_1$ . Поскольку в шпурах для отбойки камня радиус шпура  $R \ll L$  – длины шпура, то массив находится в условиях плоской деформации, то есть смещение его точек параллельно плоскости  $X_1, X_2$  и не зависит от  $X_3$ .

Решение соответствующих волновых уравнений проводится с помощью метода, который позволяет при точном удовлетворении граничных условий свести задачу к бесконечной системе алгебраических уравнений. Вследствие симметрии задачи относительно оси  $OX_1$  решение несколько упрощается, так как коэффициенты перед неизвестными с нечетными индексами равны нулю. Для получения конкретных числовых решений используется приближенный метод редукции.

Для определения  $P_0$  и  $\omega$  воспользуемся уравнением

$$\int_0^r P(t) dt = P_0 \int_0^r \sin \omega t dt, \quad (2)$$

геометрическая интерпретация которого показана на рис. 2.

Компоненты вектора смещений и тензора напряжений в полярной системе координат  $(r, \theta)$  можно записать через скалярный потенциал продольных волн  $\Phi$  и векторный потенциал сдвиговых волн  $\Psi$ . В рассматриваемом случае потенциалы  $\Phi$  и  $\Psi$  удовлетворяют двум волновым уравнениям

$$(\Delta_{r,\theta} + \alpha^2)\Phi = 0; \quad (\Delta_{r,\theta} + \beta^2)\Psi = 0, \quad (3)$$

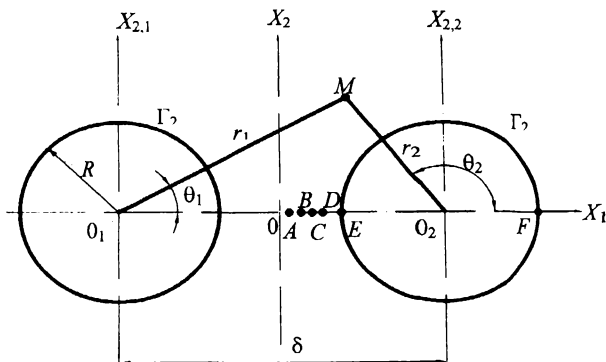


Рис. 1. Расположение систем координат для двух соседних шпуров

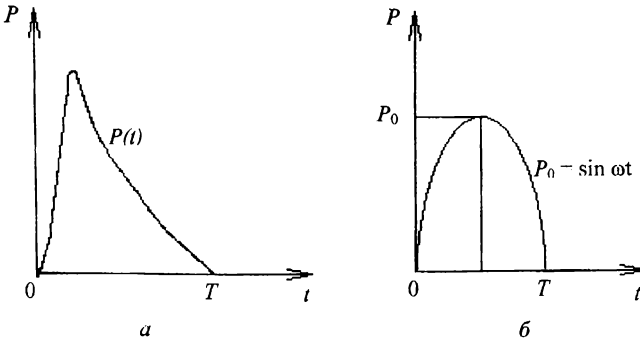


Рис. 2. Импульс взрыва: а – измеренный; б – интерпретированный

где волновые числа  $\alpha^2 = \frac{\omega^2}{c_1^2}$ ;  $\beta^2 = \frac{\omega^2}{c_2^2}$ ;  $c_1 = \sqrt{\frac{\lambda + 2\mu}{\rho}}$  – скорость продольных волн;  $c_2 = \sqrt{\frac{\mu}{\rho}}$  – скорость поперечных волн;  $\lambda, \mu$  – постоянные Ляме,  $\rho$  – плотность массива.

Компоненты вектора смещений в этом случае имеют вид:

$$u_r = \frac{\partial}{\partial r} \Phi + \frac{1}{r} \frac{\partial}{\partial t} \Psi; \quad u_\theta = \frac{1}{r} \frac{\partial}{\partial \theta} \Phi - \frac{\partial}{\partial r} \Psi. \quad (4)$$

Компоненты тензора напряжений записываются следующим образом:

$$\begin{aligned} -\frac{1}{2\mu} \sigma_r &= a\alpha^2 \Phi + \frac{1}{r} \left( \frac{\partial}{\partial r} \Phi + \frac{1}{r} \frac{\partial^2}{\partial \theta^2} \Phi + \frac{1}{r} \frac{\partial}{\partial \theta} \Psi \right); \\ \frac{1}{2\mu} \sigma_\theta &= (1-a)\alpha^2 \Phi + \frac{1}{r} \left( \frac{\partial}{\partial r} \Phi + \frac{1}{r} \frac{\partial^2}{\partial \theta^2} \Phi + \frac{1}{r} \frac{\partial}{\partial \theta} \Psi - \frac{\partial^2}{\partial r \partial \theta} \Psi \right); \\ \frac{1}{2\mu} \tau_{r\theta} &= \frac{1}{2} \beta^2 \Psi + \frac{1}{r} \left( \frac{\partial}{\partial r} \Psi + \frac{1}{r} \frac{\partial^2}{\partial \theta^2} \Psi - \frac{1}{r} \frac{\partial}{\partial \theta} \Phi + \frac{\partial^2}{\partial r \partial \theta} \Phi \right), \end{aligned} \quad (5)$$

где  $a = \frac{\lambda + 2\mu}{2\mu}$ .

Выберем потенциалы  $\Phi$  и  $\Psi$  в виде тригонометрических рядов [3] при рассмотрении взаимодействия волн, которые генерируются двумя параллельными шпурами:

$$\begin{aligned} \Phi &= \sum_{q=1}^2 \sum_{n=0}^{\infty} \left[ A_n^{(q)} \cos n\theta q + B_n^{(q)} \sin n\theta q \right] H_n(\alpha r_q); \\ \Psi &= \sum_{q=1}^2 \sum_{n=0}^{\infty} \left[ C_n^{(q)} \cos n\theta q + D_n^{(q)} \sin n\theta q \right] H_n(\beta r_q), \end{aligned} \quad (6)$$

Где  $H_n$  – функция Ханкеля первого рода;  $A_n^{(q)}$ ,  $B_n^{(q)}$ ,  $C_n^{(q)}$ ,  $D_n^{(q)}$  – произвольные постоянные.

Произвольные постоянные в (6) выберем таким образом, чтобы волновое поле было симметричным относительно оси  $X_1$ , то есть чтобы компоненты смещения удовлетворяли условиям:  $u(X_1, X_2) = -u(-X_1, X_2)$ ,  $\vartheta(X_1, X_2) = \vartheta(-X_1, X_2)$ .

Если вектор смещения  $U = \sum_{q=1}^2 U^{(q)}(r_q, \theta_q)$ , то эти условия эквивалентны следующим:

$$u_r^{(1)}(r, \theta) = u_r^{(2)}(r, \pi - \theta), \quad u_\theta^{(1)}(r, \theta) = -u_\theta^{(2)}(r, \pi - \theta).$$

Это приводит к следующей связи между постоянными:

$$A_n^{(2)} = (-1)^n A_n^{(1)}; \quad B_n^{(2)} = (-1)^{n+1} B_n^{(1)}; \quad C_n^{(2)} = (-1)^{n+1} C_n^{(1)}; \quad D_n^{(2)} = (-1)^n D_n^{(1)}. \quad (7)$$

Таким образом, благодаря симметрии задачи количество произвольных постоянных уменьшается в два раза. Неопределенные постоянные определяются из двух бесконечных систем уравнений, которые получаются при удовлетворении условий на одном из контуров  $\Gamma_q$ . Одна из этих систем будет содержать в качестве неизвестных  $A_n$  и  $D_n$ , а вторая –  $B_n$  и  $C_n$ .

Для данной задачи постоянные  $B_n = C_n = 0$ , значит, волновые потенциалы (8) приводятся к более простому виду:

$$\Phi = \sum_{n=0}^{\infty} A_n \left[ H_n(\alpha \Gamma_1) \cos n\theta_1 + (-1)^n H_n(\beta \Gamma_2) \cos \theta_2 \right]; \quad (8)$$

$$\Psi = \sum_{n=0}^{\infty} D_n \left[ H_n(\alpha \Gamma_1) \sin n\theta_1 + (-1)^n H_n(\beta \Gamma_2) \sin \theta_2 \right].$$

Для унификации представления результатов перейдем к безразмерным линейным координатам, приняв за единицу измерения радиус отверстия  $R$ . При этом граничные условия запишутся в виде

$$\sigma_{r_q} = -P_0, \quad \tau_{\gamma_q \theta_q} = 0, \quad \gamma_q = 1, \quad (q = 1, 2). \quad (9)$$

После процедуры обезразмеривания волновые числа  $\alpha$  и  $\beta$  также становятся безразмерными:  $\alpha = \frac{\omega R}{c_1}$ ,  $\beta = \frac{\omega R}{c_2}$ , поэтому обозначения для них оставим прежними.

Используя теорему о сложении для цилиндрических функций [3], преобразуем потенциалы  $\Phi$  и  $\Psi$  к координатам  $r_2, \theta_2$ .

$$\Phi(r_2, \theta_2) = \sum_{n=0}^{\infty} \left[ (-1)^n A_n H_n(\alpha r_2) + E_n S_n I_n(\alpha r_2) \right] \cos \theta_2; \quad (10)$$

$$\Psi(r_2, \theta_2) = \sum_{n=0}^{\infty} \left[ (-1)^n D_n H_n(\beta r_2) + Q_n I_n(\beta r_2) \right] \sin \theta_2, \quad (r_2 < \delta),$$

где

$$S_n = \sum_{p=0}^{\infty} A_p [H_{p-n}(\alpha\delta) + (-1)^n H_{p+n}(\alpha\delta)];$$

$$Q_n = \sum_{p=0}^{\infty} B_p [H_{p-n}(\beta\delta) - (-1)^n H_{p+n}(\beta\delta)];$$

$$E_n = \begin{cases} \frac{1}{2} & \text{при } n=0 \\ 1 & \text{при } n \neq 0 \end{cases}.$$

При подстановке решений (10) в граничные условия (9) получаем бесконечную систему алгебраических уравнений:

$$X_{n,1} A_n + X_{n,3} S_n + \xi_{n,1} D_n + \xi_{n,3} Q_n = F_{1n};$$

$$X_{n,2} A_n + X_{n,4} S_n + \xi_{n,2} D_n + \xi_{n,4} Q_n = 0;$$

( $n = 0, 1, 2, \dots$ ).

Здесь обозначено:

$$X_{n,1} = (-1)^n [(\alpha^2 - n^2)H_n(\alpha) + \alpha H'_n(\alpha)];$$

$$X_{n,2} = (-1)^n n[H_n(\alpha) - \alpha H'_n(\alpha)];$$

$$\xi_{n,1} = (-1)^n n[H_n(\beta) - \beta H'_n(\beta)];$$

$$\xi_{n,2} = (-1)^n \left[ \left( \frac{1}{2} \beta^2 - n^2 \right) H_n(\beta) + \beta H'_n(\beta) \right];$$

$$X_{n,3} = E_n [(\alpha^2 - n^2)I_n(\alpha) + \alpha I'_n(\alpha)];$$

$$X_{n,4} = n[I_n(\alpha) - \alpha I'_n(\alpha)];$$

$$\xi_{n,3} = n[I_n(\beta) - \beta I'_n(\beta)];$$

$$\xi_{n,4} = \left( \frac{1}{2} \beta^2 - n^2 \right) I_n(\beta) + \beta I'_n(\beta);$$

$$F_{10} = \frac{R^2}{2\mu} A; \quad F_{1n} = 0 \text{ при } n \neq 0.$$

Если в системе (12) сделать замену неизвестных

$$X_{n,1} A_n + \xi_{n,1} D_n = C_n; \quad X_{n,2} A_n + \xi_{n,2} D_n = B_n,$$

то она преобразуется в бесконечную систему алгебраических уравнений с определителем нормального типа.

Приближенное решение будем искать с помощью метода редукции, оставив в системе (12) лишь  $(2N + 1)$  уравнений. Это эквивалентно замене рядов (8) конечными суммами:

$$\Phi^{(N)} = \sum_{n=0}^N A_n \left[ H_n(\alpha r_1) \cos n\theta_1 + (-1)^n H_n(\alpha r_2) \cos n\theta_2 \right]; \quad (13)$$

$$\Psi^{(n)} = \sum_{n=1}^N D_n \left[ H_n(\beta r_1) \sin n\theta_1 + (-1)^n H_n(\beta r_2) \sin n\theta_2 \right].$$

С помощью решений (13) можно удовлетворить граничным условиям (9) лишь с точностью до первых  $(N + 1)$  гармоник. При получении конкретных численных результатов будем пользоваться практической сходимостью.

После определения постоянных  $A_n$  и  $D_n$  вычисляются напряжения  $\sigma_r$  и  $\sigma_\theta$  в точках линии центров  $0_1 0_2$ , указанных на рис. 1, по формулам

$$\sigma_r = -\frac{2\mu}{R^2} \left[ \alpha \alpha^2 \Phi + \frac{1}{r} \left( \frac{\partial \Phi}{\partial r} + \frac{1}{r} \frac{\partial^2 \Phi}{\partial \theta^2} + \frac{1}{r} \frac{\partial \Psi}{\partial \theta} - \frac{\partial^2 \Psi}{\partial r \partial \theta} \right) \right]; \quad (14)$$

$$\sigma_\theta = \frac{2\mu}{R^2} \left[ (1-a) \alpha^2 \Phi + \frac{1}{r} \left( \frac{\partial \Phi}{\partial r} + \frac{1}{r} \frac{\partial^2 \Phi}{\partial \theta^2} + \frac{1}{r} \frac{\partial \Psi}{\partial \theta} - \frac{\partial^2 \Psi}{\partial r \partial \theta} \right) \right].$$

Резюмируя изложенное и учитывая, что взрыв шпуровых зарядов генерирует коротковолновые нагрузки, приходим к выводу, что характер распределения напряжений в зоне влияния взаимодействующих зарядов будет существенно отличаться от статического. Преобладающими по величине становятся напряжения  $\sigma_{rr}$ , причем максимумы достигаются в точке 0 между центрами зарядов. Уровень напряжений около первой точки скольжения резко повышается, при этом как  $\sigma_{rr}$ , так и  $\sigma_{\theta\theta}$  достигают наибольшего значения в точке 0. Как видно из результатов проведенного математического моделирования, при взаимодействии целого числа волн от шпуровых зарядов также наблюдаются явления типа аномалий Вуда.

Резкое увеличение напряжений  $\sigma_{r\theta}$  в точке 0, которое носит резонансный характер, создает благоприятные условия для зарождения монотрешины, что позволит значительно увеличить расстояние между шпуровыми зарядами, уменьшить расход ВВ и объем буровых работ, не ухудшая при этом качество отбойки штучного камня.

1. Карасев Ю. Г., Бакка Н. Т. Природный камень. Добыча блочного и стенового камня. – Санкт-Петербургский горный ин-т. – 1997. – 428 с.

2. Гузь А. Н., Кубенко В. Д., Черевко М. А. Дифракция упругих волн. – К.: Наук. думка. – 1978. – С. 262–283.

3. Тихонов А. Н., Самарский А. А. Уравнения математической физики. – М.: Наука, 1972. – 735 с.